

(19) 日本国特許庁(JP)

(12) 特 許 公 報(B2)

(11) 特許番号

特許第4193866号  
(P4193866)

(45) 発行日 平成20年12月10日(2008.12.10)

(24) 登録日 平成20年10月3日(2008.10.3)

(51) Int. Cl. F I  
 HO 1 S 5/12 (2006.01) HO 1 S 5/12  
 HO 1 S 5/343 (2006.01) HO 1 S 5/343

請求項の数 5 (全 10 頁)

<p>(21) 出願番号 特願2006-124153 (P2006-124153)                  (22) 出願日 平成18年4月27日 (2006.4.27)                  (65) 公開番号 特開2007-299796 (P2007-299796A)                  (43) 公開日 平成19年11月15日 (2007.11.15)                  審査請求日 平成18年12月21日 (2006.12.21)</p> <p>前置審査</p>	<p>(73) 特許権者 000002130                  住友電気工業株式会社                  大阪府大阪市中央区北浜四丁目5番33号                  (74) 代理人 100102691                  弁理士 中野 稔                  (74) 代理人 100112117                  弁理士 山口 幹雄                  (74) 代理人 100116366                  弁理士 二島 英明                  (72) 発明者 八木 英樹                  神奈川県横浜市栄区田谷町1番地 住友電                  気工業株式会社横浜製作所内</p> <p>審査官 松崎 義邦</p>
--	--

最終頁に続く

(54) 【発明の名称】 半導体発光素子の製造方法

(57) 【特許請求の範囲】

【請求項1】

III - V 族化合物半導体基板の上にIII族元素としてインジウムを含むと共にV族元素としてリンを含むIII - V 族化合物半導体層を形成する工程と、

前記III - V 族化合物半導体層上にエッチングマスクを形成する工程と、

前記エッチングマスクを用いて前記III - V 族化合物半導体層をメタン及び水素を含むガスをを用いてドライエッチングすることによって、回折格子を形成する複数の凹部を形成する工程と、

前記複数の凹部を、硫酸または塩酸を含むエッチャントによりウェットエッチングすることにより前記複数の凹部のエッジ形状が滑らかになるまでウェットエッチングする工程と、

前記エッチングマスクを用いてIII - V 族化合物半導体からなる活性領域を毎時500nm以下の成膜速度で前記複数の凹部内に平坦に埋め込む工程と、

を含み、

前記複数の凹部を形成する工程において形成された当該複数の凹部の深さが、前記III - V 族化合物半導体層の厚みと同じである、

半導体発光素子の製造方法。

【請求項2】

前記複数の凹部の幅が、前記複数の凹部間に形成される凸部の幅と同じか又はそれよりも小さい、請求項1に記載の半導体発光素子の製造方法。

10

20

## 【請求項 3】

前記活性領域が量子井戸構造を有する、請求項 1 又は 2 に記載の半導体発光素子の製造方法。

## 【請求項 4】

前記活性領域を毎時 200 nm 以上の成膜速度で前記複数の凹部内に埋め込む、請求項 1 ~ 3 のいずれか一項に記載の半導体発光素子の製造方法。

## 【請求項 5】

前記活性領域が、量子細線構造又は量子箱構造を有する、請求項 1 ~ 4 のいずれか一項に記載の半導体発光素子の製造方法。

## 【発明の詳細な説明】

10

## 【技術分野】

## 【0001】

本発明は、半導体発光素子の製造方法に関する。

## 【背景技術】

## 【0002】

分布帰還型の半導体レーザ（以下「DFBレーザ」という。）を製造する際には、基板上に活性層を形成した後、その活性層をドライエッチングして周期的な凹部を形成している（例えば特許文献 1 参照）。その後、この凹部内に埋込層を形成する。

## 【特許文献 1】特開 2004 - 55797 号公報

## 【発明の開示】

20

## 【発明が解決しようとする課題】

## 【0003】

しかしながら、半導体発光素子を製造する際に活性層をドライエッチングすると、ドライエッチングにより活性層がダメージを受ける。その結果、活性層に結晶欠陥が生じるので、結晶欠陥に起因する非発光再結合によって半導体発光素子の発光効率が低下し、さらに、レーザ素子の場合は、閾値電流の上昇を引き起こす。

## 【0004】

本発明は、上記事情に鑑みて為されたものであり、活性領域が受けるダメージを低減できる半導体発光素子の製造方法を提供することを目的とする。

## 【課題を解決するための手段】

30

## 【0005】

上述の課題を解決するため、本発明の半導体発光素子の製造方法は、III - V 族化合物半導体基板上に III 族元素としてインジウムを含むと共に V 族元素としてリンを含む III - V 族化合物半導体層を形成する工程と、前記 III - V 族化合物半導体層上にエッチングマスクを形成する工程と、前記エッチングマスクを用いて前記 III - V 族化合物半導体層をメタン及び水素を含むガスを用いてドライエッチングすることによって、回折格子を形成する複数の凹部を形成する工程と、前記複数の凹部を、硫酸または塩酸を含むエッチャントによりウェットエッチングすることにより前記複数の凹部のエッジ形状が滑らかになるまでウェットエッチングする工程と、前記エッチングマスクを用いて III - V 族化合物半導体からなる活性領域を毎時 500 nm 以下の成膜速度で前記複数の凹部内に平坦に埋め込む工程と、を含み、前記複数の凹部を形成する工程において形成された当該複数の凹部の深さが、前記 III - V 族化合物半導体層の厚みと同じである。

40

## 【0006】

本発明の半導体発光素子の製造方法では、活性領域をドライエッチングする必要がないので、活性領域が受けるダメージを低減できる。また、III - V 族化合物半導体層が、III 族元素としてインジウムを含むと共に V 族元素としてリンを含んでおり、複数の凹部を形成する工程において、III - V 族化合物半導体層をメタン及び水素を含むガスを用いてドライエッチングすることにより、凹部の側壁の垂直性を向上させることができる。また、III - V 族化合物半導体層がドライエッチングにより受けるダメージを抑制することができる。また、成膜速度が毎時 500 nm 以下であると、成膜速度が毎時 500 nm を超え

50

る場合に比べて活性領域の表面の平坦性を向上させることができる。また、複数の凹部を形成する工程と活性領域を埋め込む工程との間に、複数の凹部を硫酸または塩酸を含むエッチャントによりウェットエッチングすることにより前記複数の凹部のエッジ形状が滑らかなになるまでウェットエッチングする工程を含むことにより、活性領域を埋め込む際に活性領域の表面の平坦性を向上させることができる。また、複数の凹部を形成する工程において、複数の凹部の深さが、前記III - V族化合物半導体層の厚みと同じであることが好ましい。また、複数の凹部が回折格子を形成していることにより、半導体発光素子から出射される光の波長を単一にすることができる。

【0007】

また、前記複数の凹部の幅が、前記複数の凹部間に形成される凸部の幅と同じか又はそれよりも小さいことが好ましい。この場合、III - V族化合物半導体からなる活性領域を複数の凹部内に埋め込むことにより、活性領域とそれを含まない領域との割合を自由に選択することができ、量子井戸構造の他に、量子細線、量子箱等の微細構造を容易に作製することができる。

10

【0008】

また、前記活性領域が量子井戸構造を有することが好ましい。そして、この活性領域を複数の凹部内に埋め込むことにより、活性領域の厚さを大きくすることができる。

【0009】

また、前記活性領域を毎時200nm以上の成膜速度で前記複数の凹部内に埋め込むことが好ましい。

20

【0010】

成膜速度が毎時200nm以上であると、成膜速度が毎時200nm未満の場合に比べて活性領域中に混入する異物の濃度を低減することができる。

【0016】

また、前記活性領域が、量子細線構造又は量子箱構造を有することが好ましい。これにより、低閾値の半導体発光素子が得られる。

【発明の効果】

【0017】

本発明によれば、活性領域が受けるダメージを低減できる半導体発光素子の製造方法が提供される。

30

【発明を実施するための最良の形態】

【0018】

以下、添付図面を参照しながら本発明の実施形態を詳細に説明する。なお、図面の説明において、同一又は同等の要素には同一符号を用い、重複する説明を省略する。

【0019】

図1は、半導体発光素子の一例を模式的に示す斜視断面図である。図1に示される半導体発光素子10は、DFBレーザである。図1には、xyz空間座標系が示されている。

【0020】

半導体発光素子10は、第1導電型(例えばn型)のIII - V族化合物半導体基板12と、III - V族化合物半導体基板12上に設けられたメサ部mに含まれる活性領域18と、活性領域18上に設けられた第2導電型(例えばp型)のIII - V族化合物半導体層26とを備える。III - V族化合物半導体基板12及びIII - V族化合物半導体層26は、例えばInPからなる。III - V族化合物半導体基板12はクラッド層を含む。このクラッド層のドーパント濃度は、例えば $1 \times 10^{18} \text{ cm}^{-3}$ である。III - V族化合物半導体層26はクラッド層として機能する。III - V族化合物半導体層26のドーパント濃度は、例えば $1 \times 10^{18} \text{ cm}^{-3}$ である。メサ部mの高さ方向はz軸方向である。メサ部mは、y軸方向に沿って延びている。

40

【0021】

III - V族化合物半導体基板12と活性領域18との間には、III - V族化合物半導体か

50

らなる光閉じ込め層 14 が設けられている。また、活性領域 18 と III - V 族化合物半導体層 26 との間には、III - V 族化合物半導体からなる光閉じ込め層 24 が設けられている。光閉じ込め層 14, 24 は、メサ部 m に含まれる。光閉じ込め層 14, 24 は、例えば GaInAsP からなる。光閉じ込め層 14, 24 のドーパント濃度は、例えば  $5 \times 10^{17} \text{ cm}^{-3}$  である。

【0022】

光閉じ込め層 14, 24 間には、III - V 族化合物半導体領域 16 が設けられている。III - V 族化合物半導体領域 16 は、メサ部 m に含まれる。活性領域 18 と III - V 族化合物半導体領域 16 とは、y 軸方向に沿って交互に配列されている。活性領域 18 と III - V 族化合物半導体領域 16 とは、回折格子を形成している。半導体発光素子 10 からのレーザ光は、y 軸方向に出射される。III - V 族化合物半導体領域 16 は、例えば i - GaInAsP 又は i - InP からなる。

【0023】

III - V 族化合物半導体層 26 上には、コンタクト層 28 が設けられている。コンタクト層 28 は、例えば GaInAs からなる。コンタクト層 28 のドーパント濃度は、例えば  $1 \times 10^{19} \text{ cm}^{-3}$  である。コンタクト層 28 上には、開口 34a が形成された絶縁膜 34 を介して電極 30 が設けられている。開口 34a は、メサ部 m 上に配置されている。電極 30 はコンタクト層 28 にオーミック接触している。III - V 族化合物半導体基板 12 の裏面 12a 上には、電極 32 が設けられている。

【0024】

III - V 族化合物半導体基板 12 と III - V 族化合物半導体層 26 との間には、メサ部 m の側面 ma を覆う埋め込み領域 36 が設けられている。埋め込み領域 36 は、III - V 族化合物半導体基板 12 上に設けられた第 2 導電型の III - V 族化合物半導体層 38 と、III - V 族化合物半導体層 38 上に設けられた第 1 導電型の III - V 族化合物半導体層 40 と、III - V 族化合物半導体層 40 上に設けられた第 2 導電型の III - V 族化合物半導体層 42 とを備える。

【0025】

図 2 は、図 1 に示される領域 A の拡大図である。図 2 に示されるように、活性領域 18 は、互いに異なるバンドギャップエネルギーを有する井戸層 20 と障壁層 22 とが交互に積層された構造を有することが好ましい。井戸層 20 及び障壁層 22 は、例えば i - GaInAsP からなる。活性領域 18 は、量子井戸構造、量子細線構造又は量子箱構造を有することが好ましい。活性領域 18 が量子井戸構造を有する場合、井戸層 20 及び障壁層 22 の積層数を増加させることによって、活性領域 18 の厚さを大きくすることができる。また、活性領域 18 が量子細線構造又は量子箱構造を有する場合、低閾値の半導体発光素子 10 が得られる。

【0026】

図 3 ~ 図 7 は、好適な実施形態に係る半導体発光素子の製造方法の各工程を模式的に示す断面図である。この製造方法により、上述の半導体発光素子 10 が好適に製造される。以下、半導体発光素子 10 の製造方法の各工程について説明する。

【0027】

(III - V 族化合物半導体層形成工程)

まず、図 3 に示されるように、III - V 族化合物半導体基板 12 上に III - V 族化合物半導体層 16a を形成する。III - V 族化合物半導体基板 12 は、例えば半導体基板上にクラッド層を形成することによって得られる。III - V 族化合物半導体層 16a を形成する前に、必要に応じて III - V 族化合物半導体基板 12 上に光閉じ込め層 14 を形成してもよい。III - V 族化合物半導体層 16a 及び光閉じ込め層 14 は、例えば有機金属気相成長法 (OMVPE 法) 等の気相成長法を用いて形成される。III - V 族化合物半導体層 16a 及び光閉じ込め層 14 の成長温度は例えば 650 である。

【0028】

(エッチングマスク形成工程)

10

20

30

40

50

次に、図4に示されるように、III-V族化合物半導体層16a上にエッチングマスクMを形成する。エッチングマスクMは、例えばシリコン酸化物からなる。エッチングマスクMは、リソグラフィ法を用いてパターンニングされることが好ましい。エッチングマスクMは、例えば以下のように形成される。まず、CVD法を用いてIII-V族化合物半導体層16a上にSiO<sub>2</sub>膜を形成する。SiO<sub>2</sub>膜の厚さは、例えば15~20nmである。続いて、そのSiO<sub>2</sub>膜上にレジスト膜を形成し、レジスト膜に電子ビーム露光を施す。一実施例において、レジスト膜は電子ビーム露光用レジスト(ZEP520)にC<sub>6</sub>を混合したものからなり、レジスト膜の厚さは60nmである。さらに、露光されたレジスト膜を現像し、CF<sub>4</sub>ガスを用いてSiO<sub>2</sub>膜をドライエッチングした後、O<sub>2</sub>アッシングによりレジスト膜を剥離除去する。

10

## 【0029】

(ドライエッチング工程)

次に、図5に示されるように、エッチングマスクMを用いてIII-V族化合物半導体層16aをドライエッチングする。これにより、複数の凹部44を有するIII-V族化合物半導体領域16を形成する。複数の凹部44間には凸部45が形成される。III-V族化合物半導体層16aは、例えばプラズマPを用いて反応性イオンエッチング(RIE)によりドライエッチングされる。

## 【0030】

III-V族化合物半導体層16aがIII族元素としてインジウムを含むと共にV族元素としてリンを含む場合、メタン及び水素を含むガスを用いてIII-V族化合物半導体層16aをドライエッチングすることが好ましい。これにより、凹部44の側壁の垂直性を向上させることができる。また、III-V族化合物半導体層16aがドライエッチングにより受けるダメージを抑制することができる。

20

## 【0031】

水素のガス流量は、メタンのガス流量の3~5倍であることが好ましい。一実施例において、ドライエッチングの条件は以下の通りである。

- ・メタンのガス流量：10sccm
- ・水素のガス流量：40sccm
- ・チャンバ圧力：6.5Pa
- ・RFパワー：100W

30

## 【0032】

また、ドライエッチングの後、必要に応じてO<sub>2</sub>アッシングを行うことが好ましい。これにより、メタンから生成されたポリマーを除去することができる。一実施例において、O<sub>2</sub>アッシングの条件は以下の通りである。

- ・酸素のガス流量：30sccm
- ・チャンバ圧力：10Pa
- ・RFパワー：50W

## 【0033】

凹部44の幅Waは、凸部45の幅Wgと同じか又はそれよりも小さいことが好ましい。これにより、活性領域18の幅を細くすることができ、量子井戸構造以外に、量子細線、量子箱等の微細構造も容易に形成することができる。

40

## 【0034】

凹部44は、回折格子を形成していることが好ましい。この場合、半導体発光素子10からシングルモードのレーザ光を出射させることができる。凹部44は、所定のピッチで周期的に形成されることが好ましい。凹部44が回折格子を形成する場合、ピッチはブラッグ周期に対応する。ピッチは、凹部44の幅Waと凸部45の幅Wgとの和に相当する。半導体発光素子10の発振波長が例えば1.3μmの場合、ピッチは、200nmであることが好ましい。半導体発光素子10の発振波長が例えば1.55μmの場合、ピッチは、240nmであることが好ましい。凹部44の深さdは、例えばIII-V族化合物半導体層16aの厚さと同じである。深さdは、40nm以上であることが好ま

50

しい。

【0035】

(ウェットエッチング工程)

次に、図6に示されるように、凹部44をウェットエッチングすることが好ましい。これにより、凹部44のエッジ形状が滑らかになるので、活性領域18を埋め込む際に活性領域18の表面の平坦性を向上させることができる。例えば、III-V族化合物半導体領域16をエッチング槽46中のエッチャント48に浸漬させることにより凹部44をウェットエッチングすることができる。エッチャント48は、III-V族化合物半導体領域16がGaInAsPの場合は硫酸を含むことが好ましく、III-V族化合物半導体領域16がInPの場合は塩酸を含むことが好ましい。また、エッチャント48をIII-V族化合物半導体領域16にスプレーしてもよい。

10

【0036】

(埋め込み工程)

次に、図7に示されるように、エッチングマスクMを用いてIII-V族化合物半導体からなる活性領域18を凹部44内に埋め込む。活性領域18は、例えば有機金属気相成長法(OMVPE法)等の気相成長法を用いて形成される。活性領域18を毎時200~500nmの成膜速度で凹部44内に埋め込むことが好ましい。成長温度は例えば600である。

【0037】

埋め込み工程では、活性領域18を毎時200~500nmの成膜速度で凹部44内に埋め込むことが好ましい。成膜速度が毎時200nm以上であると、成膜速度が毎時200nm未満の場合に比べて活性領域18中に混入する異物の濃度を低減することができる。また、成膜速度が毎時500nm以下であると、成膜速度が毎時500nmを超える場合に比べて活性領域18の表面の平坦性を向上させることができる。

20

【0038】

また、エッチングマスクMを用いて活性領域18を凹部44内に埋め込むので、III-V族化合物半導体領域16上に活性領域18が形成されない。さらに、活性領域18と光閉じ込め層24との間に、キャリアの注入を阻害するような半導体層が形成されない。また、III-V族化合物半導体基板12としてn型半導体基板及びp型半導体基板のいずれでも好適に用いることができる。

30

【0039】

(成膜工程)

エッチングマスクMを剥離除去した後、図2に示されるように、活性領域18及びIII-V族化合物半導体領域16上に光閉じ込め層24、III-V族化合物半導体層26及びコンタクト層28をこの順に形成する。エッチングマスクMは、例えばパフアードフッ酸により剥離除去される。光閉じ込め層24、III-V族化合物半導体層26及びコンタクト層28は、例えば有機金属気相成長法(OMVPE法)等の気相成長法を用いて形成される。成長温度は例えば650である。

【0040】

(電極形成工程)

次に、図2に示されるように、コンタクト層28上に電極30を形成し、III-V族化合物半導体基板12の裏面12a上に電極32を形成する。

40

【0041】

上記各工程を経ることによって、半導体発光素子10を製造することができる。本実施形態の半導体発光素子の製造方法では活性領域18を凹部44内に埋め込むので、ドライエッチングによる活性領域18の加工が必要ない。よって、活性領域18が受けるダメージを低減できるので、非発光再結合による悪影響を低減できる。したがって、低電流、及び発光効率の高い半導体発光素子10が得られる。また、III-V族化合物半導体層16aがノンドープの場合、非発光再結合は更に抑制され、さらに、不純物に起因した内部損失の上昇が生じない。

50

【0042】

以上、本発明の好適な実施形態について詳細に説明したが、本発明は上記実施形態に限定されない。

【0043】

例えば、半導体発光素子10は、例えばLED、ファブリペロー型量子細線レーザ、量子箱レーザ、又は、量子細線若しくは量子箱活性層を有する面発光レーザ等であってもよい。また、半導体発光素子10は光閉じ込め層14, 24を備えていなくてもよい。

【図面の簡単な説明】

【0044】

【図1】半導体発光素子の一例を模式的に示す斜視断面図である。

10

【図2】図1に示される領域Aの拡大図である。

【図3】好適な実施形態に係る半導体発光素子の製造方法の各工程を模式的に示す断面図である。

【図4】好適な実施形態に係る半導体発光素子の製造方法の各工程を模式的に示す断面図である。

【図5】好適な実施形態に係る半導体発光素子の製造方法の各工程を模式的に示す断面図である。

【図6】好適な実施形態に係る半導体発光素子の製造方法の各工程を模式的に示す断面図である。

【図7】好適な実施形態に係る半導体発光素子の製造方法の各工程を模式的に示す断面図である。

20

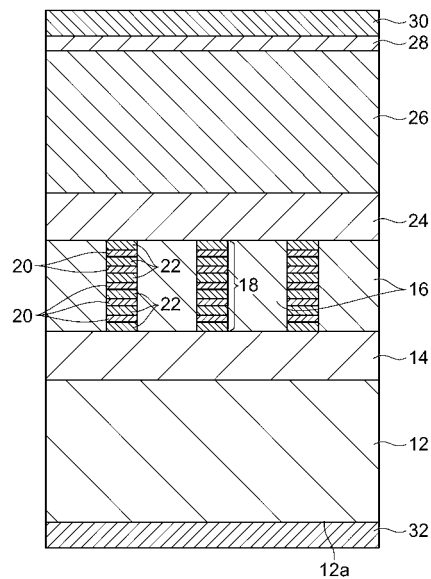
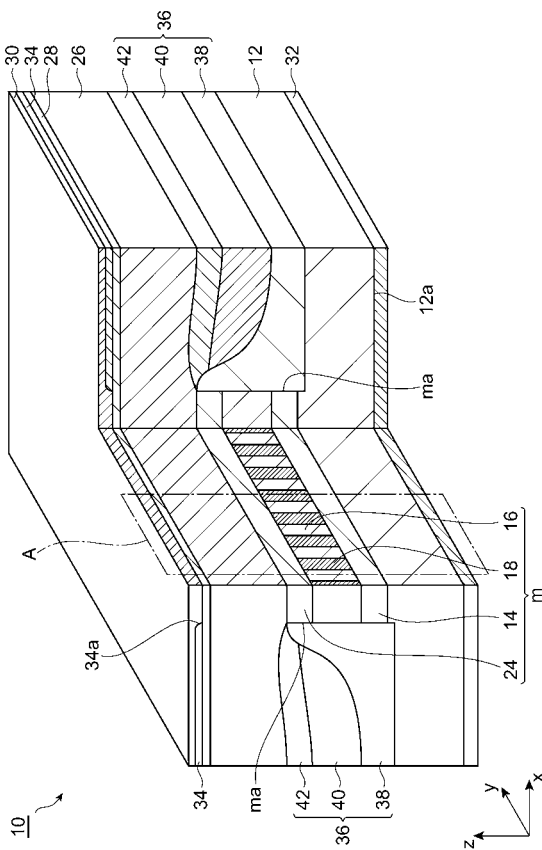
【符号の説明】

【0045】

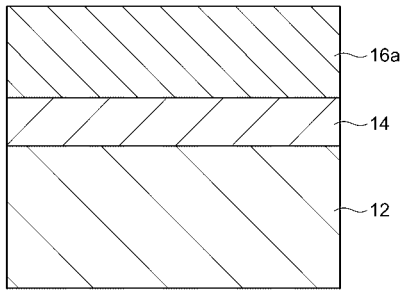
10...半導体発光素子、12...III-V族化合物半導体基板、16a...III-V族化合物半導体層、18...活性領域、44...複数の凹部、45...凸部、M...エッチングマスク。

【図1】

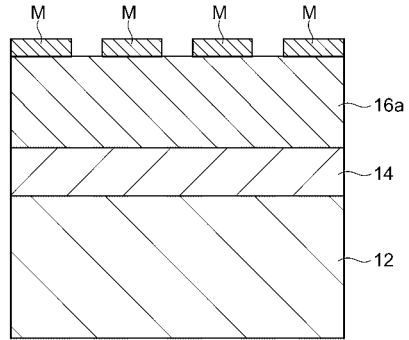
【図2】



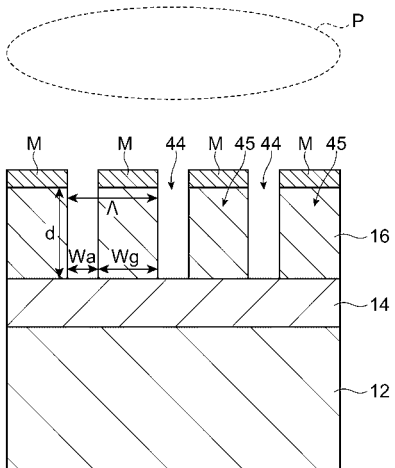
【図3】



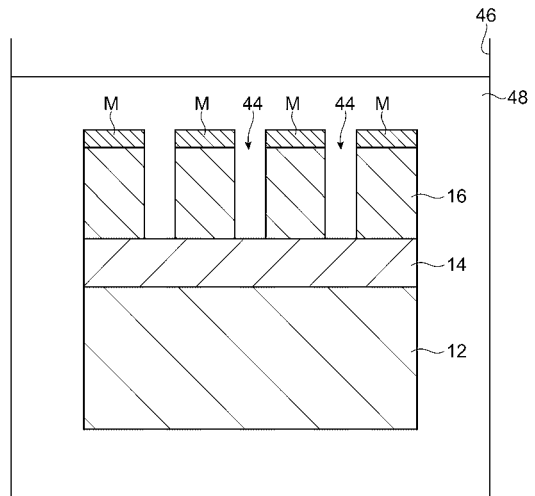
【図4】



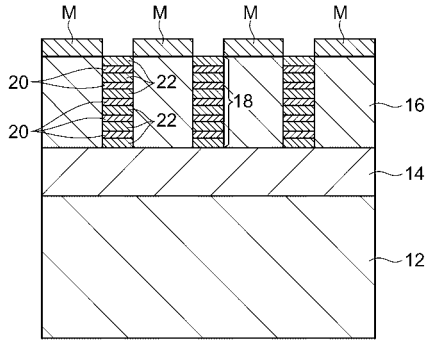
【図5】



【図6】



【図7】



---

フロントページの続き

- (56)参考文献 特開平03 - 049287 (JP, A)  
特開平10 - 270793 (JP, A)  
特開2002 - 033305 (JP, A)  
特開2000 - 091303 (JP, A)  
特開平11 - 054835 (JP, A)  
特開平07 - 221392 (JP, A)  
特開2001 - 156391 (JP, A)  
特開平03 - 049284 (JP, A)  
特開2003 - 142773 (JP, A)

- (58)調査した分野(Int.Cl., DB名)

H01S5/00 - 5/50